

# Reconhecimento de Modelos de Veículos

Fernando Magalhães

Laboratório de Sistemas Distribuídos Inteligentes (LSDi)  
Universidade Federal do Maranhão (UFMA)  
fbeneditovm@gmail.com

15/01/2018



# Outline

- 1 Introdução
- 2 Objetivos
- 3 Dataset
- 4 Treinamento
- 5 Resultados



# Introdução

- É comum que pessoas não saibam reconhecer os carros que observam no dia a dia, incluindo alguns dos modelos mais comuns;
- Um método de reconhecimento de veículos além de ajudar os curiosos, pode ajudar agentes de segurança a identificar automóveis cuja a placa não está visível ou pode ter sido adulterada.



# Objetivos

- Pré-processar uma base de dados para o treinamento de redes neurais;
- Treinar diferentes arquiteturas de redes neurais;
- Comparar o desempenho de cada uma delas;



# Dataset

- 2120 imagens de 50 classes;
- 10 marcas cada uma com 5 modelos;
- Por volta de 37 imagens por classe;
- Posições, câmeras e iluminações variadas;
- Imagens não estavam cortadas para conter apenas a bounding box



# Pré-processamento

Foram escritos vários scripts para pré-processar as imagens do dataset tornando possível o treinamento utilizando as redes que serão mencionadas a seguir na plataforma de machine learning do google cloud:

- Cortar as imagens
- Separá-las em pastas de acordo com a classe
- Redimensionar para 299, 299 em RGB
- Salvá-las em um arquivo .pickle que pudesse ser aberto no gcloud



# Observação

Foi enviada uma mensagem para o email disponibilizado na página do dataset de modo a obter o modelo de veículo o qual cada número representava, mas nenhuma resposta foi obtida. Então foi necessário observar as imagens em busca dos modelos e por meio de pesquisas na internet foi possível obter o modelo que cada inteiro representava. As imagens foram divididas em em 80% para treino e 20% para validação



## Aumento de dados

Devido ao número pequeno de imagens por veículo, foi utilizada uma técnica de aumento de dados nas imagens reservadas para treino, foram utilizados de forma aleatória durante o treinamento espelhamentos horizontais, inclinações de até 30 graus e zooms. As imagens foram divididas em em 80% para treino e 20% para validação





# Configuração das Redes

Foram adotadas 4 arquiteturas de redes neurais: uma CNN simples, uma com um módulo inception, uma com 3 módulos inceptions e por fim a GoogLeNet pré-inicializada com os pesos da base ImageNet. Seguem as arquiteturas das redes construídas utilizando a biblioteca keras



# SimpleConvNet

- Convolução(32 filtros de (3,3), relu)
- MaxPooling(32 filtros de (2,2))
- Convolução(32 filtros de (3,3), relu)
- MaxPooling(32 filtros de (2,2))
- Convolução(64 filtros de (3,3), relu)
- MaxPooling(64 filtros de (2,2))
- Flaten()
- FullyConnected(128 saídas, relu)
- Dropout(50%)
- FullyConnected(50 saídas, relu)
- Sigmoid()



# Single Inception

- Convolução(32 filtros de (3,3), stride(2,2) relu)
- Convolução(32 filtros de (3,3), relu)
- Convolução(64 filtros de (3,3), relu)
- MaxPooling(64 filtros de (3,3), stride(2,2))
- Convolução(80 filtros de (1,1), relu)
- Convolução(192 filtros de (3,3), relu)
- MaxPooling(192 filtros de (3,3), stride(2,2))
- 1 Módulo inception
- GlobalAveragePooling()
- FullyConnected(50 saídas, relu)
- Sigmoid()



# GoogLeNet

Substitui o final da rede para retreinar de acordo com o novo dataset.  
Toma a saída do último módulo inception e adiciona:

- GlobalAveragePooling()
- FullyConnected(1024 saídas, relu)
- FullyConnected(50 saídas, relu)
- Sigmoid()



# Treinamento

O treinamento foi feito em 100 épocas para todas as configurações de CNN, exceto para a GoogLeNet, cujo treinamento foi dividido em duas etapas:

- 50 épocas treinando apenas a parte que foi adicionada ao final da rede.
- 50 épocas treinando também o último módulo inception da rede.



# SimpleConvNet

A SimpleConvNet apresentou acurácia de 5% no dataset de treino e 6% no dataset de validação (figuras 1 e 2).

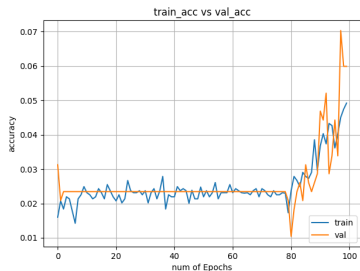


Figura 1: Acurácia SimpleConvNet.

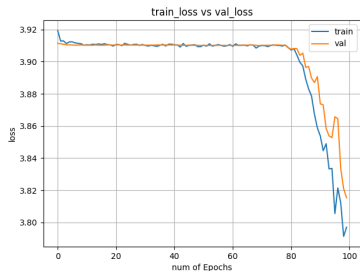


Figura 2: Loss SimpleConvNet.

# Single Inception

A rede com 1 módulo inception apresentou uma acurácia de 93% no dataset de treino e 49% no dataset de validação (figuras 3 e 4).

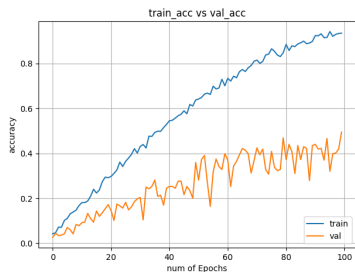


Figura 3: Acurácia Single Inception.

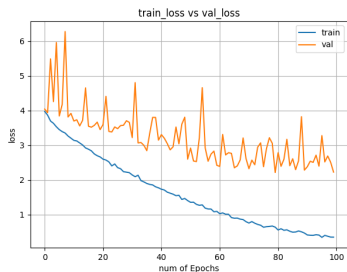


Figura 4: Loss Single Inception.

# GoogLeNet etapa 1

Ao final das primeiras 50 épocas, a GoogLeNet apresentou uma acurácia de 63% no dataset de treino e 48% no dataset de validação (figuras 5 e 6).

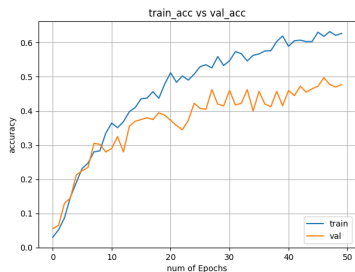


Figura 5: Acurácia GoogLeNet etapa 1.



Figura 6: Loss GoogLeNet etapa 1.



## GoogLeNet etapa 2

Treinadas mais 50 épocas seguindo o descrito na seção anterior, a acurácia foi de 96% no dataset de treino e 67% no de validação (figuras 7 e 8).

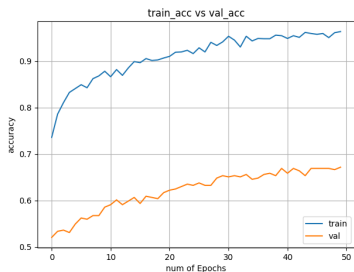


Figura 7: Acurácia GoogLeNet etapa 2.

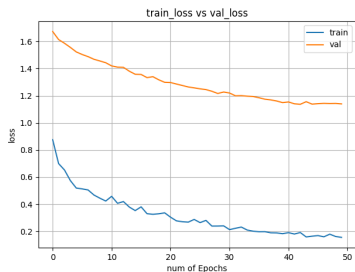


Figura 8: Loss GoogLeNet etapa 2.